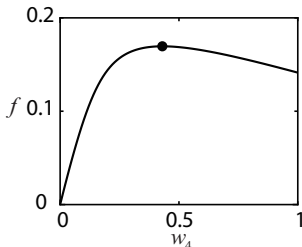
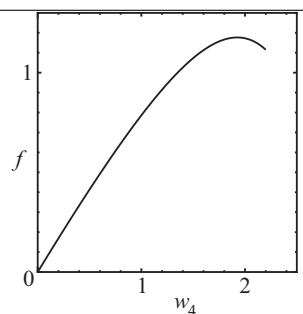
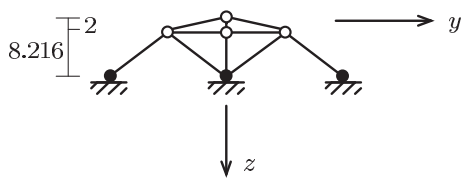
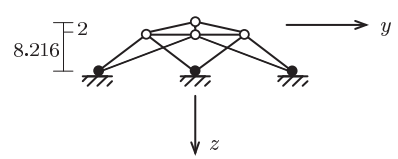


池田・室田：「構造系の座屈と分岐」第2刷（コロナ社，2007年）正誤表
 （2021年5月24日現在）

場所	誤	正
16頁3行目	4本の解曲線	5本の解曲線
16頁4行目（挿入）		$x = y = 0$, 解曲線0 (f 軸)
16頁2.4節2行目	最小値	極小値
65頁(5.42)式下	式(5.41)と(5.42)を式(5.40)	式(5.40), (5.41), (5.42)を式(5.39)に
70頁第8行目	その他の断面剛性	ばね定数 k は十分大きく その他の断面剛性
72頁問5.10の1行目	完全弾性体	弾性体
85頁6.2.2節第1行目	図6.6の左側	図6.6の上側
88頁問6.2	また，図(b)のフレームの部材長 ...	また，全ての部材は同一である。
99頁下から1番目の式	$\tilde{\mathbf{p}}^{(m)} = \begin{matrix} i \\ j \end{matrix} \begin{pmatrix} \mathbf{0} \\ \mathbf{p}_j^{(m)} \\ \mathbf{0} \\ \mathbf{p}_j^{(m)} \\ \mathbf{0} \end{pmatrix}$	$\tilde{\mathbf{p}}^{(m)} = \begin{matrix} i \\ j \end{matrix} \begin{pmatrix} \mathbf{0} \\ \mathbf{p}_i^{(m)} \\ \mathbf{0} \\ \mathbf{p}_j^{(m)} \\ \mathbf{0} \end{pmatrix}$
100頁式(7.30)上2行目	$2EA$	EA
101頁式(7.32)下4行目	$2EA$	EA

場所	誤	正
101 頁図 7.3 の右側		
111 頁式 (9.4)	$\mathbf{u}_c \approx \frac{\lambda_{iB}\mathbf{u}_A - \lambda_{iA}\mathbf{u}_B}{\lambda_{iA} - \lambda_{iB}}, \quad f_c \approx \frac{\lambda_{iB}f_A - \lambda_{iA}f_B}{\lambda_{iA} - \lambda_{iB}}$	$\mathbf{u}_c \approx \frac{\lambda_{iA}\mathbf{u}_B - \lambda_{iB}\mathbf{u}_A}{\lambda_{iA} - \lambda_{iB}}, \quad f_c \approx \frac{\lambda_{iA}f_B - \lambda_{iB}f_A}{\lambda_{iA} - \lambda_{iB}}$
119 頁第 2 行目	$\partial \mathbf{F} / \partial f = EA(0, 1)^T$	$\partial \mathbf{F} / \partial f = EA(0, -1)^T$
140 頁式 (11.23) 下第 6 行目	荷重の極大・極小点と	荷重の停留点と
141 頁図 11.2 右下	$A_{20} = 0, A_{30} \neq 0$ 対称	$A_{20} = 0, A_{30} \neq 0$ $A_{11} \neq 0$ 対称
144 頁下 2 行目	$A_{30} \neq 0$)	$A_{30} \neq 0, A_{11} \neq 0$)
156 頁下から第 6 行目	図中, 実線により示す	図中, 太線により示す
157 頁第 3 行目	右側に破線で示す。	右側に細線で示す。
170 頁図 13.3 右側	<ul style="list-style-type: none"> ○: 自由節点 ●: 固定節点 	<ul style="list-style-type: none"> ○: 自由節点 ●: 固定節点 
176 頁第 2 行目	$U(x, y)$	$U(x, y, z)$
181 頁問 4.1(2) 第 2 行目	$J(0, 0, f) = (kL^2)^2 \dots$	$\det J(0, 0, f) = (kL^2)^2 \dots$

場所	誤	正
186 頁問 6.1	式 (6.13) の剛性行列により与えられる.	図 6.2(b) で $\alpha = 1$ とし, 式 (6.13) の剛性行列を書き換えることにより与えられる.
	$\det \left[\frac{4EI}{L^2} \begin{pmatrix} 3L & -3 & L \\ -3 & \frac{6}{L} & -3 \\ L & -3 & 2L \end{pmatrix} \right]$	$\det \left[\frac{2EI}{L^2} \begin{pmatrix} 4L & -3 & L \\ -3 & \frac{6}{L} & -3 \\ L & -3 & 2L \end{pmatrix} \right]$
	$= \left(\frac{4EI}{L^2}\right)^3 L \times \det \begin{pmatrix} 3 & -3 & 1 \\ -3 & 6 & -3 \\ 1 & -3 & 2 \end{pmatrix}$	$= \left(\frac{2EI}{L^2}\right)^3 L \times \det \begin{pmatrix} 4 & -3 & 1 \\ -3 & 6 & -3 \\ 1 & -3 & 2 \end{pmatrix}$
	$\alpha = P_c L^2 / (120EI)$	$\alpha = P_c L^2 / (60EI)$
	$\alpha = 0.0185, 0.214, 0.764$	$\alpha = 0.026, 0.28, 0.83$
	$P_c = 2.22 \frac{EI}{L^2}, 25.7 \frac{EI}{L^2}, 91.7 \frac{EI}{L^2}$	$P_c = 1.57 \frac{EI}{L^2}, 16.8 \frac{EI}{L^2}, 49.6 \frac{EI}{L^2}$
187 頁問 6.4	$\begin{pmatrix} 4 & -1 & 0 \\ -1 & 12 & -1 \\ 0 & -1 & 4 \end{pmatrix}$ $P_{1c} = 14.7 \frac{EI}{L^2}, P_{3c} = 53.1 \frac{EI}{L^2}$ $\boldsymbol{\eta}_{1c} = \begin{pmatrix} 1.22 \\ -1.00 \\ 1.22 \end{pmatrix}, \boldsymbol{\eta}_{3c} = \begin{pmatrix} 1.22 \\ 1.00 \\ 1.22 \end{pmatrix}$	$\begin{pmatrix} 4 & -1 & 0 \\ -1 & 8 & -1 \\ 0 & -1 & 4 \end{pmatrix}$ $P_{1c} = 16.8 \frac{EI}{L^2}, P_{3c} = 71.1 \frac{EI}{L^2}$ $\boldsymbol{\eta}_{1c} = \begin{pmatrix} 1.46 \\ -1.00 \\ 1.46 \end{pmatrix}, \boldsymbol{\eta}_{3c} = \begin{pmatrix} 0.80 \\ 1.00 \\ 0.80 \end{pmatrix}$

187頁 図 A.5 左		
188 頁問 6.5	$\left(-\frac{P}{4}, \frac{3P}{4}, -\frac{PL}{8}\right)^T$	$\left(-\frac{P}{4}, \frac{\sqrt{3}P}{4}, -\frac{PL}{8}\right)^T$
190 頁第 2 行目	$(P/\sqrt{2}, P/\sqrt{2})$	$(P/\sqrt{2}, -P/\sqrt{2})$
190 頁 問 7.2 第 5 行目	$\begin{pmatrix} 0 \\ 4f/(3EA) \end{pmatrix}$	$\begin{pmatrix} 0 \\ 4f/3 \end{pmatrix}$
190 頁 問 7.2 第 7 行目	$f_1 =$ $f_2 =$	$f_1 = EA$ $f_2 = EA$
192 頁問 8.2 の 4 行目	$m\sqrt{2}$	$\sqrt{2}/m$
194 頁図 A.7(a) の横軸	節点 1 の	頂点の
194 頁図 A.7(a) の縦軸	f/EA	f
195 頁問 11.3	$\hat{F} \sim 4\tilde{x}\tilde{f} - 4\tilde{x}^3$	$\hat{F} \sim \frac{4EA}{3}(\tilde{x}\tilde{f} - \tilde{x}^3)$